

### **Q1 - Pêndulo de barras compensadas (10 pontos)**

Considere um pêndulo físico composto por três barras delgadas e homogêneas, conectadas por duas pequenas plataformas rígidas de espessura desprezível, conforme o esquema conceitual abaixo.

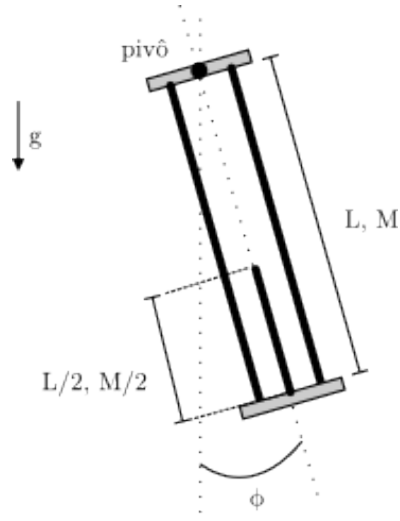


Figura 1: Diagrama esquemático do pêndulo de barras compensadas.

As duas barras principais têm massa  $M_1 = M$  e comprimento  $L_1 = L$ , sendo ligadas paralelamente pelas plataformas em suas extremidades. O sistema pode oscilar em torno de um pivô situado no centro da plataforma superior, de modo que o conjunto se comporte como um corpo rígido oscilando em torno de um eixo horizontal e perpendicular ao plano das barras.

Na extremidade inferior, presa à plataforma oposta, encontra-se uma barra auxiliar de massa  $M_2 = M/2$  e comprimento  $L_2 = L/2$ , orientada em direção ao pivô, isto é, apontando para cima. Todas as barras são delgadas e homogêneas. As plataformas, assim como conexões entre barras, têm massa desprezível. O objetivo do arranjo é reduzir a variação do período de oscilação com respeito à variação da temperatura  $\theta$ .

Considere que o movimento do sistema possa ser tratado como pequenas oscilações no plano vertical. A distância entre as duas barras principais é muito pequena quando comparada aos comprimentos  $L$  e  $L/2$ . A aceleração da gravidade é  $g$ , tomada constante.

- |           |   |       |
|-----------|---|-------|
| <b>A.</b> | Determine a distância $h$ do centro de massa com respeito ao pivô da oscilação. | 1,0pt |
|-----------|---|-------|

**Gabarito:**

**A.**

As duas barras principais (cada uma com massa  $M$  e comprimento  $L$ ) estão presas pela plataforma superior no pivô e se estendem para baixo. Cada barra homogênea tem seu centro de massa a uma distância  $L/2$  abaixo do pivô. Como há duas barras idênticas, a contribuição total de massa dessas barras é  $2M$ , e seu centro de massa efetivo está a  $L/2$  do pivô.

A barra auxiliar tem massa  $M/2$  e comprimento  $L/2$ , e está presa pela plataforma inferior voltada para cima, em direção ao pivô. Logo, seu extremo mais alto está na plataforma inferior, cuja posição está a uma distância  $L$  abaixo do pivô (pois coincide com as extremidades inferiores das barras principais). Assim, medindo a partir do pivô para baixo como sentido positivo, a barra auxiliar ocupa a faixa de posições entre  $y = L - \frac{L}{2} = \frac{L}{2}$  e  $y = L$ . O centro de massa dessa barra está, portanto, a uma distância média entre essas extremidades, isto é,

$$y_{\text{aux}} = \frac{\frac{L}{2} + L}{2} = \frac{3L}{4}.$$

Logo:

$$\text{massa total } M_{\text{tot}} = 2M + \frac{M}{2} = \frac{5M}{2}.$$

Escolhendo o pivô como origem vertical  $y = 0$ , com  $y > 0$  apontando para baixo, temos:

$$y_{\text{cm}} = h = \frac{2M \cdot \left(\frac{L}{2}\right) + \frac{M}{2} \cdot \left(\frac{3L}{4}\right)}{M_{\text{tot}}} = \frac{2M \cdot \frac{L}{2} + \frac{M}{2} \cdot \frac{3L}{4}}{\frac{5M}{2}}.$$

Portanto, a distância entre o pivô e o centro de massa total é

$$h = \frac{11}{20}L.$$

**Critério de correção (4,0 pt).**

- 0,5 pt: Expressão correta de  $h$ .
- 0,5 pt: Resultado final correto.

**B.** Determine o período  $T$  de pequenas oscilações do pêndulo descrito, em função de  $M$ ,  $L$  e  $g$ . 3,0pt

**Gabarito:**

**B.**

**i) Determinar o momento de inércia total  $I$  em torno do pivô.**

Para cada barra principal (massa  $M$ , comprimento  $L$ , pivô em uma das extremidades), o momento de inércia em torno do pivô é

$$I_{\text{barra princ}} = \frac{1}{3}ML^2.$$

Como existem duas barras idênticas:

$$I_{(\text{duas princ})} = 2 \cdot \frac{1}{3}ML^2 = \frac{2}{3}ML^2.$$

Agora a barra auxiliar. Ela é uma barra homogênea de massa  $M/2$  e comprimento  $L/2$  cujo eixo está deslocado. Para uma barra uniforme, podemos usar o teorema dos eixos paralelos: o momento de inércia em torno do centro de massa da barra é

$$I_{\text{cm,aux}} = \frac{1}{12}m\ell^2 = \frac{1}{12} \left(\frac{M}{2}\right) \left(\frac{L}{2}\right)^2 = \frac{1}{12} \cdot \frac{M}{2} \cdot \frac{L^2}{4} = \frac{ML^2}{96}.$$

A distância entre o pivô e o centro de massa da barra auxiliar é  $y_{\text{aux}} = 3L/4$ . Assim, pelo teorema dos eixos paralelos:

$$I_{\text{aux}} = I_{\text{cm,aux}} + m y_{\text{aux}}^2 = \frac{ML^2}{96} + \left(\frac{M}{2}\right) \left(\frac{3L}{4}\right)^2 = \frac{ML^2}{96} + \frac{M}{2} \cdot \frac{9L^2}{16} = \frac{7ML^2}{24}.$$

Portanto, o momento de inércia total é

$$I = I_{(\text{duas princ})} + I_{\text{aux}} = \frac{2}{3}ML^2 + \frac{7}{24}ML^2 = ML^2 \left(\frac{2}{3} + \frac{7}{24}\right) = ML^2 \left(\frac{16}{24} + \frac{7}{24}\right) = ML^2 \cdot \frac{23}{24} = \frac{23}{24}ML^2.$$

**ii) Calcular o período do pêndulo.**

A expressão geral para um pêndulo físico é

$$T = 2\pi \sqrt{\frac{I}{M_{\text{tot}} g h}}.$$

Substituindo os valores encontrados anteriormente na fórmula:

$$T = 2\pi \sqrt{\frac{23}{33} \frac{L}{g}}.$$

**Critério de correção (4,0 pt).**

- 1,5 pt: determinação correta de  $I$ .
- 1,5 pt: substituição dos resultados anteriores em  $T = 2\pi\sqrt{I/(M_{\text{tot}}gh)}$  e expressão final correta.

Admita agora que as barras principais e a barra auxiliar sofrem dilatação térmica linear, com coeficientes de dilatação linear respectivamente dados por  $\alpha_1$  e  $\alpha_2$ .

- C.** Determine o valor numérico da razão  $\alpha_1/\alpha_2$  que garanta que o período de oscilação  $T$  permaneça aproximadamente invariante frente a pequenas variações de temperatura.  
Considere apenas termos de primeira ordem em  $\Delta\theta$ . 6,0pt

**Gabarito:**

**(C)**

Agora considere a dilatação térmica. Para pequenas variações de temperatura  $\Delta T$ :

$$L_1 = L \longrightarrow L'_1 = L(1 + \alpha_1 \Delta T), \quad L_2 = \frac{L}{2} \longrightarrow L'_2 = \frac{L}{2}(1 + \alpha_2 \Delta T).$$

Isso altera:

- o momento de inércia total  $I$ ;
- a distância  $h$  entre o pivô e o centro de massa total.

Portanto, o período do pêndulo pode ser, no caso geral, modificado por variações de temperatura. Para que o período seja termicamente estável a primeira ordem, exigimos que  $T$  não varie linearmente com  $\theta$ . Ou seja,

$$\frac{dT}{d\theta} = 0.$$

Como

$$T = 2\pi \sqrt{\frac{I}{M_{\text{tot}} g h}},$$

com  $M_{\text{tot}}$  constante (as massas não mudam com a temperatura), basta impor que a fração  $I/h$  não varie linearmente com  $\Delta T$ . Em outras palavras, exigimos

$$\frac{d}{d\theta} \left( \frac{I}{h} \right) = 0.$$

Essa condição é satisfeita se tivermos, em primeira ordem, umas mesma variação percentual das quantidades  $I$  e  $h$ . Isto é:

$$\frac{\Delta I}{I \cdot \Delta \theta} = \frac{\Delta h}{h \cdot \Delta \theta}. \quad (1)$$

Sem perda de generalidade, podemos assumir valores unitários de  $L$  e  $M$  para simplificar as expressões a seguir. É necessário agora, a partir das expressões de  $I$  e  $h$  em termos de  $L_1$  e  $L_2$ , descobrir como essas quantidades variam com variações de temperatura em termos de  $\alpha_1$  e  $\alpha_2$ . Veja:

- Cálculo de  $\Delta h$ :

O centro de massa está em

$$h = \frac{3L_1 - \frac{1}{2}L_2}{5}.$$

Com  $L_1 = 1 + \alpha_1 \Delta \theta$  e  $L_2 = \frac{1}{2}(1 + \alpha_2 \Delta \theta)$ , obtemos, a primeira ordem,

$$\frac{\Delta h}{h \Delta \theta} = \frac{12\alpha_1 - \alpha_2}{11}.$$

- Cálculo de  $\Delta I$ :

O momento de inércia total é

$$I = \frac{1}{6} (7L_1^2 - 3L_1 L_2 + L_2^2).$$

Substituindo os comprimentos dilatados e expandindo a primeira ordem,

$$\frac{\Delta I}{I \Delta \theta} = \frac{2(25\alpha_1 - 2\alpha_2)}{23}.$$

Substituindo ambos os resultados na condição (1), segue

$$\frac{2(25\alpha_1 - 2\alpha_2)}{23} = \frac{12\alpha_1 - \alpha_2}{11},$$

e assim obtemos a razão desejada

$$\frac{\alpha_1}{\alpha_2} = \frac{21}{274}.$$

#### Critério de correção (6,0 pt).

- 1,0 pt: identificação correta das grandezas afetadas pela dilatação térmica e escrita das dilatações lineares  $L_1 \rightarrow L_1(1 + \alpha_1 \Delta \theta)$  e  $L_2 \rightarrow L_2(1 + \alpha_2 \Delta \theta)$ .
- 1,0 pt: Reconhecimento da dependência térmica de  $I$  e  $h$ .
- 1,0 pt: expansão correta de  $I$  e  $h$  até primeira ordem em  $\Delta \theta$ .
- 2,0 pt: obtenção da relação  $\Delta I/I = \Delta h/h$  a partir da invariância do período.
- 1,0 pt: valor correto da razão  $\alpha_1/\alpha_2$ .

## Q2 - Capacitor “defeituoso”(10 pontos)

De uma placa de um capacitor plano, descarregado, que se conecta, em paralelo, a uma bobina ideal de indutância  $L$ , se desprende uma lâmina fina, de carga  $q$  de dimensões iguais às placas do capacitor. A lâmina se move com velocidade constante  $V \ll c$ , na direção paralela às placas, ver figura abaixo.

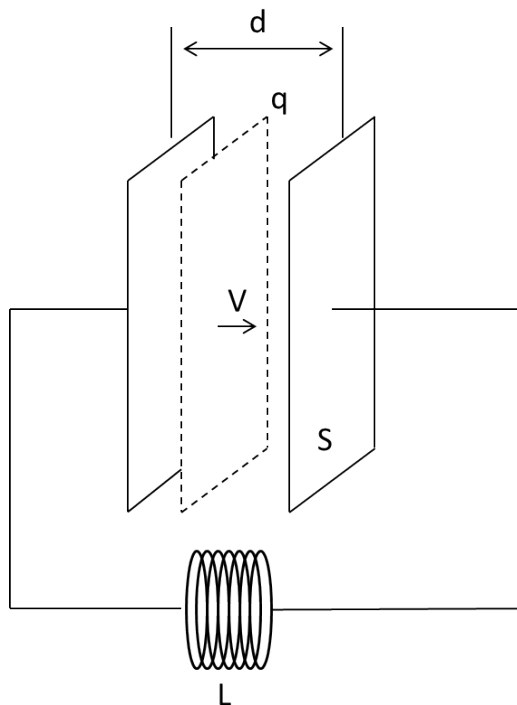


Figura 2: Diagrama esquemático do capacitor “defeituoso”.

A distância entre as placas é  $d$  e a área de cada uma delas,  $S$ . Considere  $\sqrt{S} \gg d$ . A permissividade elétrica do meio pelo qual se move a lâmina é  $\epsilon_0$ . Assuma que a carga  $q$  da lâmina permanece distribuída uniformemente na sua área ao longo de todo o processo.

- |    |   |       |
|----|---|-------|
| A. | Encontre uma expressão para a diferença de potencial entre as placas do capacitor | 4,5pt |
|    | em função do tempo.   |       |

### Gabarito:

- A. A placa, inicialmente está descarregada. Da figura ??, temos que

$$\begin{aligned} E_I &= E_1 - E_2 \\ E_1 &= \frac{\sigma_1}{2\epsilon_0} = -\frac{Q(t) + q}{2\epsilon_0 S} \\ E_2 &= \frac{\sigma_2}{2\epsilon_0} = \frac{q}{2\epsilon_0 S}. \end{aligned}$$

Então, para a região I,

$$|E_I(t)| = |E_1 - E_2| = \left| \frac{-Q(t) - q}{2\epsilon_0 S} - \frac{q}{2\epsilon_0 S} \right| = \left| \frac{-Q(t) - 2q}{2\epsilon_0 S} \right| = \frac{|Q(t) + 2q|}{2\epsilon_0 S}.$$

Para a região II,

$$E_{II} = E_3 - E_2$$

$$E_3 = \frac{\sigma_3}{2\epsilon_0} = \frac{Q(t)}{2\epsilon_0 S}$$

Daí,

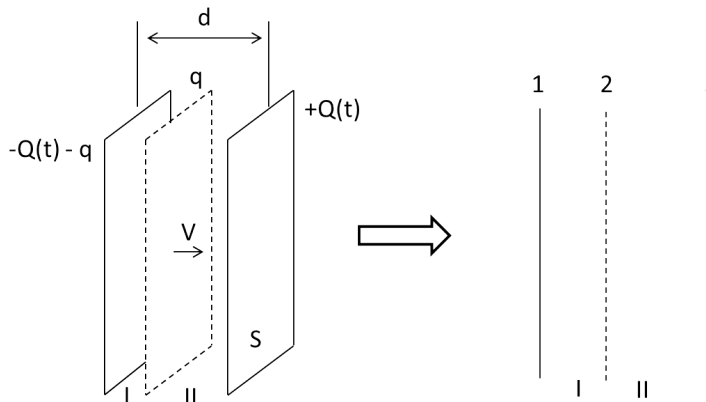
$$E_{II}(t) = \frac{Q(t)}{2\epsilon_0 S} - \frac{q}{2\epsilon_0 S} = \frac{Q(t) - q}{2\epsilon_0 S}$$

A diferença de potencial entre as placas, por sua vez, é dada por

$$U(t) = E_I(t)d_I + E_{II}(t)d_{II}$$

$$U(t) = \frac{Q(t) + 2q}{2\epsilon_0 S} \cdot Vt + \frac{Q(t) - q}{2\epsilon_0 S} \cdot (d - Vt)$$

$$U(t) = \frac{Q(t)d}{2\epsilon_0 S} + \frac{3qVt}{2\epsilon_0 S} - \frac{qd}{2\epsilon_0 S} = \frac{[Q(t) - q]d + 3qVt}{2\epsilon_0 S}.$$



#### Critério de correção (4,5 pt).

- 2,0 pt: determinação correta de  $E_I$ .
- 1,5 pt: determinação correta de  $E_{II}$ .
- 1,0 pt: pela expressão correta de  $U(t)$ .

- B.** Determine a dependência da corrente na bobina com o tempo durante o movimento da lâmina entre as placas do capacitor. 4,5pt

#### Gabarito:

- B.** Da lei das malhas...

$$-L \frac{dI}{dt} - U(t) = -L \frac{\Delta I}{\Delta t} - \left[ \frac{[Q(t) - q]d + 3qVt}{2\epsilon_0 S} \right] = 0$$

Daí...

$$\frac{dI}{dt} + \frac{[Q(t) - q]d + 3qVt}{2\epsilon_0 SL} = 0$$

Derivando no tempo...

$$\frac{d^2I(t)}{dt^2} + \frac{\frac{dQ(t)}{dt}d + 3qV}{2\epsilon_0 S} = 0 \Rightarrow \boxed{\frac{d^2I(t)}{dt^2} + \left( \frac{d}{2\epsilon_0 SL} \right) I(t) + \frac{3qV}{2\epsilon_0 SL} = 0}$$

Solução: fazendo a seguinte troca de variáveis

$$i(t) = I(t) + \frac{3qV}{d} \Rightarrow \frac{d^2i(t)}{dt^2} + \frac{d}{2\epsilon_0 SL} i(t) = 0$$

Portanto...

$$I(t) = A \cos \omega t + B \sin \omega t - \frac{3qV}{d}$$

onde

$$\omega = \sqrt{\frac{d}{2\epsilon_0 SL}}$$

Em  $t = 0$ ,  $I(0) = 0$ , então...  $A = \frac{3qV}{d}$  então

$$I(t) = \frac{3qV}{d} \cos \sqrt{\frac{d}{2\epsilon_0 SL}} t + B \sin \sqrt{\frac{d}{2\epsilon_0 SL}} t$$

Em  $t = 0$  não há voltagem na bobina, então

$$L \frac{dI(0)}{dt} = 0 \Rightarrow \frac{dI(0)}{dt} = 0 = B \sqrt{\frac{d}{2\epsilon_0 SL}} = 0 \Rightarrow B = 0$$

Assim...

$$I(t) = \frac{3qV}{d} \left( \cos \sqrt{\frac{d}{2\epsilon_0 SL}} t - 1 \right)$$

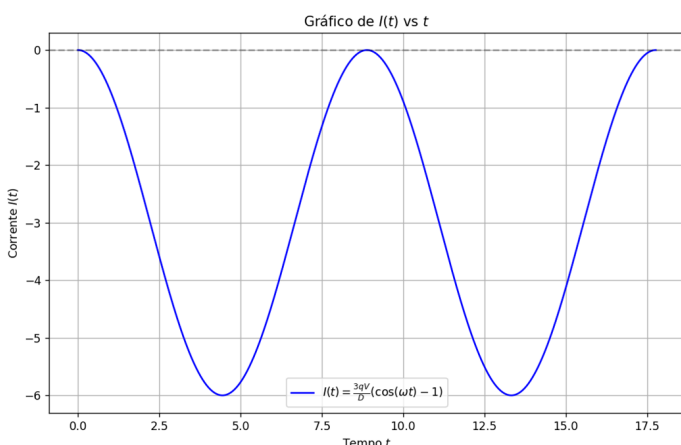
#### Critério de correção (4,5 pt).

- 2,5 pt: pela equação diferencial para a corrente.
- 2,0 pt: pela expressão final, incluindo a expressão de  $\omega$ .

- C.** Faça um gráfico qualitativo da corrente em função do tempo para o sistema em questão. 1,0pt

#### Gabarito:

**C.**



#### Critério de correção (1,0 pt).

- 1,0 pt: desenho qualitativo correto do gráfico.

### **Q3 - Analogia eletro-magneto-gravitacional (10 pontos)**

#### **Parte A. Casca esférica carregada girando (3,0 pontos)**

Considere uma casca esférica, de raio  $R$ , com densidade superficial de carga elétrica uniforme e igual a  $\sigma$ , girando com uma velocidade angular  $\omega$ . Sabe-se que  $\frac{\omega R}{c} \ll 1$ .

- A1.** Encontre uma expressão para o vetor indução magnética  $\vec{B}$  no centro da casca 3,0pt  
esférica. Expresse sua resposta em função de  $\sigma$ ,  $R$ ,  $\omega$  e  $\mu_0$ .

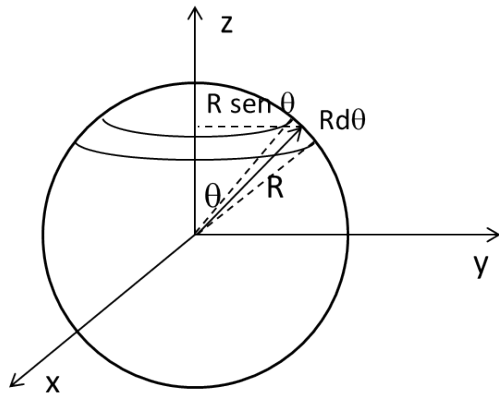


Figura 3: Casca carregada girando.

#### **Gabarito:**

- A1.** Uma casca esférica uniformemente carregada girando cria correntes na superfície. Dividindo a esfera em anéis de raio  $a = R \sin \theta$  (ver figura 3):

$$dq = \sigma(2\pi a)Rd\theta = 2\pi\sigma aRd\theta$$

$$\delta i = \frac{dq}{T} = \frac{dq}{2\pi} \omega = \frac{2\pi\sigma aRd\theta\omega}{2\pi} = \sigma aR\omega d\theta$$

$$d\vec{B} = \frac{\mu_0}{4\pi} \frac{Id\vec{l} \times \vec{R}}{R^3}$$

$$d\vec{l} = (R \sin \theta)d\phi \hat{\phi} = dl \hat{\phi}$$

A corrente  $\delta i$  é a corrente correspondente a apenas um anel. As componentes radiais do campo se cancelam e as verticais se somam.

Assim

$$d\vec{B} = \frac{\mu_0 Idl}{4\pi R^2} \cos \psi \hat{z} = \frac{\mu_0 Idl}{4\pi R^2} \frac{a}{R} \hat{z} = \frac{\mu_0 Idla}{4\pi R^3} \hat{z}$$

Integrando para esse anel, em  $dl$ :

$$\delta \vec{B}_z = \frac{\mu_0 I 2\pi a^2}{4\pi R^3} \hat{z} = \frac{\mu_0 I a^2}{2R^3} \hat{z}$$

Aqui chamamos  $\delta \vec{B}_z$  ao campo do anel, que é um diferencial do campo da casca inteira. Então, substituindo  $a = R \sin \theta$  e usando a corrente  $\delta i$ , para a casca temos, integrando em  $\theta$ , de  $0 - \pi$ :

$$B_z = \int \frac{\mu_0}{2} \frac{\sigma R^2 \omega \sin \theta d\theta R^2 \sin^2 \theta}{R^3} = \frac{2}{3} \mu_0 \sigma R \omega$$

**Critério de correção (3,0 pt).**

- 2,0 pt: expressão correta de  $\delta\vec{B}_z$ .
- 1,0 pt: expressão final de  $\vec{B}_z$ .

### Parte B. Corpo carregado deformável no centro de uma casca esférica carregada, girando (7,0 pontos)

Suponha que no centro da esfera tenha um pequeno corpo deformável de dimensões  $\delta \ll R$ , com densidades volumétricas homogêneas de massa,  $\rho$ , e de carga elétrica,  $\lambda$ . Este objeto também gira, em torno do mesmo eixo  $z$ , mas com velocidade angular  $\Omega$ . O sistema é ilustrado na figura 4.

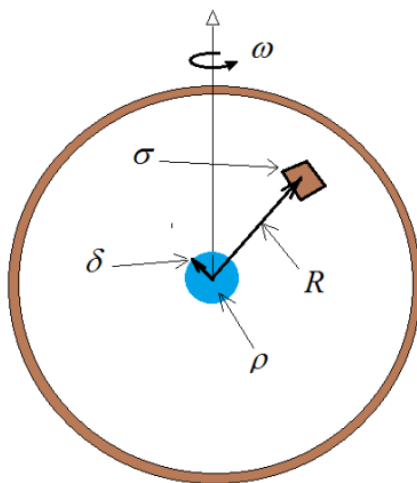


Figura 4: Casca carregada girando com corpo deformável na origem.

Sabe-se que existe uma velocidade angular  $\vec{\Omega} \neq 0$  do corpo deformável no interior da esfera que rota, para a qual o dito corpo mantém a forma que tem em ausência de interações que possam deformá-lo.

- B1.** Calcule a velocidade angular  $\vec{\Omega}$  em termos de grandezas fornecidas. Assuma que os campos elétrico e magnético são homogêneos em todo o volume do corpo deformável. 2,5pt

**Gabarito:**

- B1.** A força de Lorentz, sobre um elemento de carga  $\delta q$ , do corpo no centro da casca é

$$\vec{f}_L = \delta q [\vec{E}(\vec{r}) + \vec{v} \times \vec{B}(\vec{r})] = \lambda \delta V [\vec{E}(\vec{r}) + \vec{v} \times \vec{B}(\vec{r})]$$

O campo elétrico no centro da casca é nulo, então

$$\vec{f}_L = \lambda \delta V [\vec{v} \times \vec{B}(\vec{r})]$$

Do item anterior, sabemos que  $\vec{B}$  não depende de  $\vec{r}$ , assim

$$\vec{f}_L = \lambda \delta V [\vec{v} \times \vec{B}]$$

Da segunda lei de Newton

$$\vec{f}_L = \delta m \frac{d\vec{v}}{dt} \Rightarrow \lambda \delta V (\vec{v} \times \vec{B}) = \delta m \frac{d}{dt} (\Omega \times \vec{r}) = \delta m \left( \Omega \times \frac{d\vec{r}}{dt} \right) = \delta m (\Omega \times \vec{v}) = -\delta m (\vec{v} \times \Omega)$$

onde  $\vec{r}$  é o vetor de posição do elemento de massa (carga) do corpo.

$$\lambda \delta V(\vec{v} \times \vec{B}) = -\rho \delta V(\vec{v} \times \Omega) \Rightarrow \lambda(\vec{v} \times \vec{B}) + \rho(\vec{v} \times \Omega) = 0$$

Dai

$$\vec{v} \times (\lambda \vec{B} + \rho \vec{\Omega}) = 0 \Rightarrow \lambda \vec{B} = -\rho \vec{\Omega}$$

Finalmente

$$\boxed{\vec{\Omega} = -\frac{\lambda}{\rho} \vec{B} = -\frac{\lambda}{\rho} \frac{2\mu_0 R \omega \sigma}{3} \hat{z}}$$

**Critério de correção (2,0 pt).**

- 1,5 pt: expressão correta de  $\vec{f}_L = -\delta m(\vec{v} \times \vec{\Omega})$ .
- 1,0 pt: expressão final para  $\vec{\Omega}$ .

**B2.** Encontre a carga líquida superficial que iguala ambas as velocidades angulares,  $\vec{\omega}$  e  $\vec{\Omega}$ . 1,5pt

**Gabarito:**

**B2.** Usando o resultado do item anterior

$$\Omega = \omega = -\frac{\lambda}{\rho} \frac{2\mu_0 R \omega \sigma}{3} \Rightarrow |\sigma| = \frac{3\rho}{2\pi\mu_0|\lambda|R}.$$

Daí

$$\boxed{Q = 4\pi R^2 |\sigma| = \frac{6\pi\rho R}{\mu_0\lambda}}$$

**Critério de correção (1,5 pt).**

- 1,0 pt: expressão correta de  $\sigma$ .
- 0,5 pt: expressão final para  $Q$ .

**B3.** Que sinais devem ter as cargas, superficial e do corpo deformável, para que este último gire no mesmo sentido que a casca? 0,5pt

**Gabarito:**

**B3.** A partir da expressão de  $\vec{\Omega}$ , vemos que, se  $\sigma$  e  $\lambda$  tem sinais opostos,  $\Omega$  é positiva, ou seja, terá o mesmo sentido que  $\vec{\omega}$ . Isto é compatível com o fato da força de interação entre a casca e o corpo ser atrativa, dessa forma, a casca “arrasta” o corpo à rotação.

**Critério de correção (0,5 pt).**

- 0,5 pt: pela explicação acima ou outra semelhante, aceitável.

A analogia entre a lei de Coulomb e a lei de gravitação universal, no limite de campos fracos e pequenas velocidades, permite descrever os efeitos gravitacionais através de analogias eletromagnéticas. De acordo com isto, o sistema anterior é análogo a uma esfera coberta com uma densidade superficial de massa,  $\sigma_g$ , que gira, e um corpo deformável no interior, análogo ao anterior, particularmente, na sua densidade de massa,  $\rho$ , ajustando corretamente os parâmetros. Considere que este ajuste se obtém substituindo as densidades de carga superficial da esfera e volumétrica do corpo deformável segundo as regras:  $\sigma \rightarrow \sqrt{4\pi\epsilon_0 G}\sigma_g$  e  $\lambda \rightarrow \sqrt{4\pi\epsilon_0 G}\rho$ .

- B4.** Utilize o resultado do item B2. e as regras de substituição dadas para determinar a razão entre a massa líquida superficial que igualaria as duas velocidades angulares no caso gravitacional, e a massa de um buraco negro  $M_{BN} = \frac{c^2 R}{2G}$ , com raio  $R$  igual ao da casca. 2,5pt

**Gabarito:**

- B4.** Usando as substituições propostas

$$\lambda \rightarrow \sqrt{4\pi\epsilon_0 G\rho}$$

$$\sigma \rightarrow \sqrt{4\pi\epsilon_0 G}\sigma_g$$

$$Q = \frac{6\pi\rho R}{\mu_0\lambda} = \frac{6\pi\rho R}{\mu_0\sqrt{4\pi\epsilon_0 G}\rho} = 4\pi R^2\sigma = 4\pi R^2\sqrt{4\pi\epsilon_0 G}\sigma_g$$

Dai

$$M_g = \frac{6\pi R}{\mu_0 4\pi\epsilon_0 G} = \frac{3Rc^2}{2G} = 3M_{BN}$$

**Critério de correção (2,5 pt).**

- 1,5 pt: pelas expressão correta de  $Q$  que leva à igualdade relacionando  $\rho$  e  $\sigma_g$ .
- 1,0 pt: pela expressão final para  $M_g$ .

#### **Q4 - Contando colisões relativísticas (10 pontos)**

Considere duas partículas pontuais de massas (de repouso)  $M$  e  $m$ , se movendo ao longo do eixo  $x$  (fig. 5). Inicialmente, a massa  $M$  se encontra com momento  $p_0$ , andando em direção a massa  $m$  (em repouso). Após a primeira colisão, a massa  $m$  é lançada em direção a parede, onde ela irá colidir e refletir, até colidir com  $M$  novamente. Esse processo se repete, até a massa  $M$  eventualmente mudar de direção.

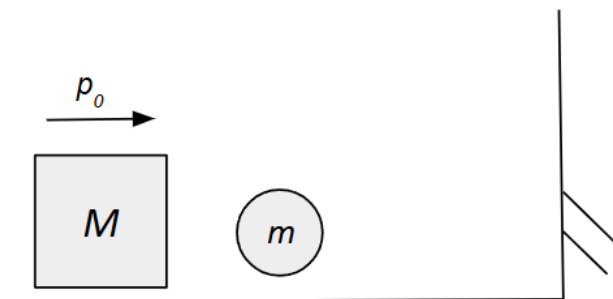


Figura 5: O estado inicial, antes da primeira colisão entre as massas  $M, m$ .

Este cenário é um problema famoso na mecânica clássica. Discutiremos a seguir a sua versão *relativística*. O objetivo será estimar o número  $N$  de colisões entre as massas até a direção de movimento de  $M$  se inverter.

#### **Parte A: Caso clássico**

Digamos que, em determinado instante,  $M$  encontra com momento  $p$  no eixo  $x$ , e está prestes a colidir com a outra massa  $m$  se movendo com momento  $-q$ . Depois da colisão, ambas  $M$  e  $m$  se movem na mesma direção com momentos  $p'$  e  $q'$  respectivamente (fig. 6).

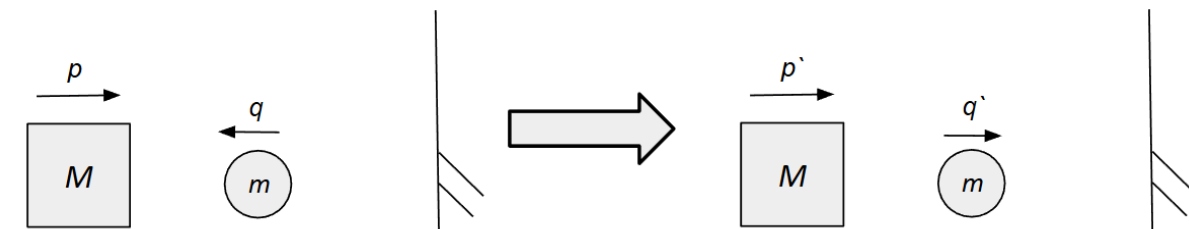


Figura 6: O instante da colisão. Momentos  $(p, -q)$  (antes) se transformam em  $(p', q')$  (depois).

Assuma que todas as colisões, entre as massas e com a parede, são perfeitamente elásticas, e que as massas deslizam sobre a superfície sem atrito.

- A1.** Escreva a equação de conservação de energia (relativística) durante a colisão da fig. 6, relacionando  $p, q, p', q', M, m$ , e a velocidade da luz  $c$ . 0,5pt

No resto da parte **A**, estudaremos o limite clássico, onde  $p, q \ll M \cdot c, m \cdot c$ .

- A2.** Neste limite clássico, esboce o espaço de fase do sistema. Isto é, desenhe um gráfico 2D, com eixos  $(p, q)$ , representando os valores de momento admissíveis dado apenas a equação de conservação de energia. Indique pontos notáveis no seu esboço, em função de  $M, m, p_0$ . 0,5pt

**Dica:** O formato da curva é uma cônica.

- A3.** Escreva a equação de conservação de momento durante a colisão da fig. 6, relacionando  $p, q, p', q'$ . Faria alguma diferença se as partículas fossem relativísticas? 0,5pt

No gráfico do espaço de fase do item **b**, o sistema inicialmente se encontra na coordenada  $(p_0, 0)$ . Agora, estudaremos como o sistema evolui após as colisões, neste gráfico.

- A4.** No contexto da fig. 6 (e novamente, no caso clássico), digamos que o sistema se encontre na coordenada  $(p, -q)$ , onde  $p, q > 0$ . Faça outro esboço do espaço de fase, e represente os pontos  $(p, -q)$  (antes da colisão) e  $(p', q')$  (depois) no seu esboço. Represente também a configuração do sistema após  $m$  refletir na parede. 0,5pt

- A5.** Mostre que, no limite onde  $p_0 \ll m \cdot c \ll M \cdot c$ , o número de colisões até  $M$  mudar de direção é 1,0pt

$$N_{\text{clássico}} \approx \frac{\pi}{4} \sqrt{\frac{M}{m}} \quad (2)$$

**Dica:** Normalize os eixos do espaço de fase, para o diagrama virar um círculo:  $(p, q) \rightarrow (p/\sqrt{M}, q/\sqrt{m})$ . Neste círculo, qual o ângulo entre  $(p, q)$  e  $(p', q')$ ?

### Gabarito:

A1) Por conservação de energia, temos:

$$E = \sqrt{p^2 c^2 + M^2 c^4} + \sqrt{q^2 + m^2 c^4} = \sqrt{p'^2 c^2 + M^2 c^4} + \sqrt{q'^2 c^2 + m^2 c^4} \quad (3)$$

### Marking Scheme:

- +0,5 pontos por escrever a expressão correta de  $E$

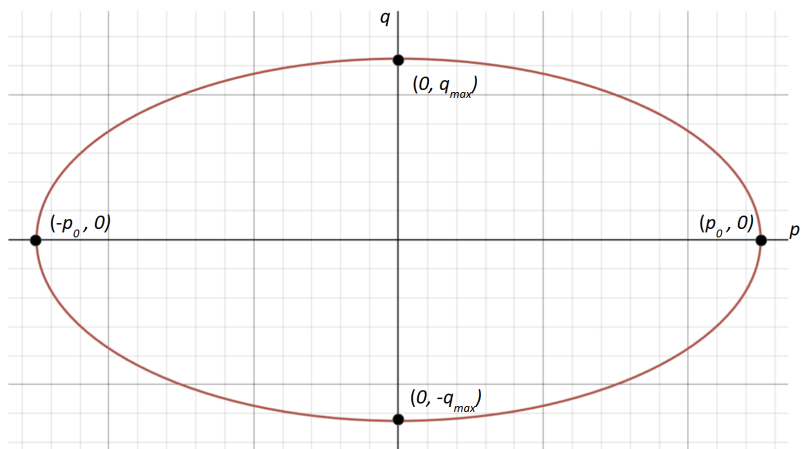
A2) Classicamente, temos  $M \cdot c \gg p$  e  $m \cdot c \gg q$ , e a equação de conservação de energia nesse limite implica:

$$E = \frac{p^2}{2M} + \frac{q^2}{2m} \quad (4)$$

Dado que energia é conservada e originalmente temos  $E = \frac{p_0^2}{2M}$ :

$$\left( \frac{p_0}{\sqrt{M}} \right)^2 = \left( \frac{p}{\sqrt{M}} \right)^2 + \left( \frac{q}{\sqrt{m}} \right)^2 \quad (5)$$

Que implica uma elipse para  $p, q$ , como esboçado abaixo:



Note que  $q_{max}$  acima, é dado por:

$$\frac{p_0^2}{2M} = \frac{q_{max}^2}{2m} \implies q_{max} = p_0 \sqrt{m/M}. \quad (6)$$

**Marking Scheme:**

- +0,2 pontos por reconhecer que no limite clássico temos  $E = \frac{p^2}{2M} + \frac{q^2}{2m}$
- +0,1 pontos pelo esboço da elipse
- +0,1 pontos por indicar os pontos  $(\pm p_0, 0)$  e  $(\pm 0, q_{max})$
- +0,1 pontos pela expressão correta de  $q_{max}$  no esboço

**A3)**

Por conservação de momento:

$$p - q = p' + q' \quad (7)$$

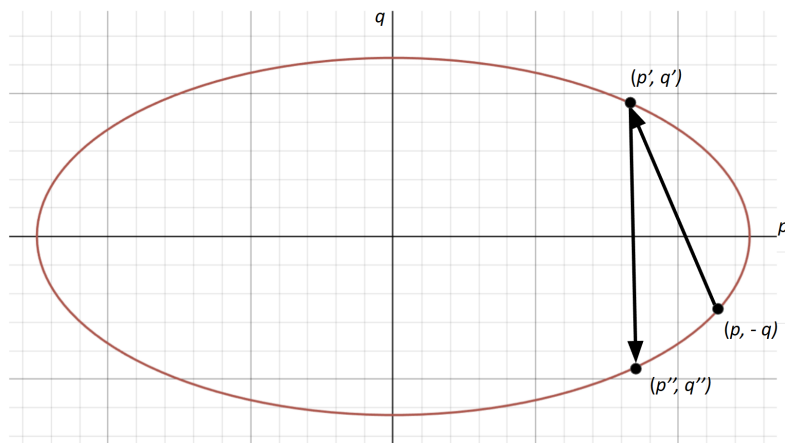
Essa equação é válida sempre.

**Marking Scheme:**

- +0,4 pontos pela equação de conservação de momento
- +0,1 pontos por indicar que é válida sempre
- Não penalize caso o aluno escreva  $p + q = p' + q'$  desde que reconheça que  $q$  é negativo

**A4)**

No espaço de fases, podemos obter o estado do sistema depois da colisão  $(p', q')$  obtendo a intersecção da elipse de  $p, q$  com a equação de conservação de momento,  $p' + q' = \text{Constante}$ , como na figura abaixo entre os pontos  $(p, -q)$  e  $(p', q')$



Depois da colisão com a parede, temos que o momento da massa  $m$  se inverte, que corresponde a uma reflexão no plano  $x$ , como a seta entre os pontos  $(p', q')$  e  $(p'', q'')$  acima.

**Marking Scheme:**

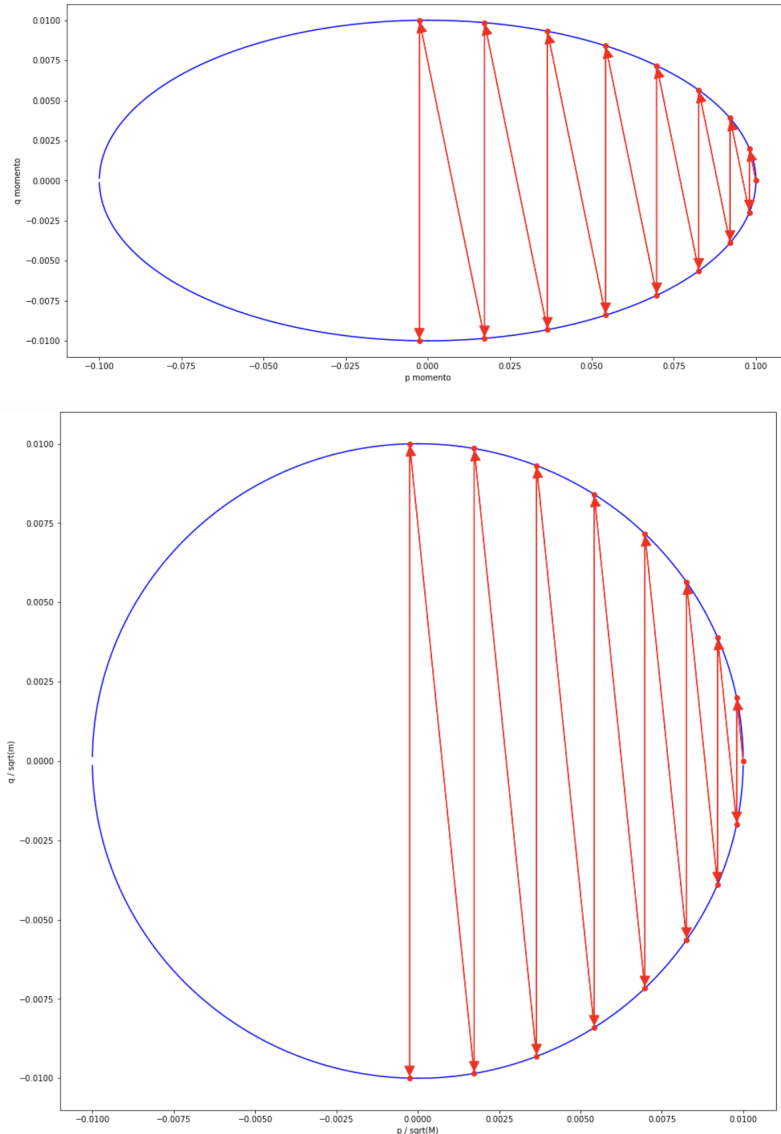
- +0,3 pontos por notar graficamente que após a colisão pode-se obter  $(p', q')$  pela intersecção entre a elipse do espaço de fases e conservação de momento.
- +0,2 pontos por notar que graficamente a colisão com a parede representa uma reflexão pelo eixo horizontal

**A5)**

Dada a dica, vamos escalar a equação da elipse  $p,q$  por  $1/\sqrt{M}, 1/\sqrt{m}$  respectivamente, da forma  $x = p/\sqrt{M}, y = q/\sqrt{m}$  para que a equação da elipse se torne  $x^2 + y^2 = \text{Constante}$ . Dessa forma, o espaço de fases para  $x,y$  define um círculo.

Alem disso, note que por conservação de momento, *apos cada colisão* temos  $p + q = \text{Constante} \implies x\sqrt{M} + y\sqrt{m} = \text{Constante}$ . Ou seja, conservação de momento implica uma reta no plano  $x,y$  com inclinação  $-\sqrt{M/m}$ .

Alem disso, perceba que apos cada colisão o momento da massa  $m$  se inverte, logo temos a seguinte trajetória no espaço de fases (e também no sistema de coordenadas  $x,y$ ):



Os graficos acima são com  $M = 100, m = 1, v_0 = c/1000$ . Note que apos cada colisão entre as massas, e depois com a parede, temos que um ponto  $(x,y)$  é rotacionado por um angulo  $\theta = 2\sqrt{m/M}$  ao longo do círculo, e apos  $N$  colisões tal que  $N\theta = \pi/2$  a direção de  $m$  se inverte. Assim, obtemos que com  $N$ :

$$N \approx \frac{\pi}{4} \sqrt{\frac{M}{m}} \quad (8)$$

colisões  $M$  muda de direção.

**Marking Scheme:**

- +0,4 pontos por notar que no sistema  $x = p/\sqrt{M}, y = q/\sqrt{m}$  o espaço de fases é um círculo
- +0,1 pontos por notar que o ângulo entre  $(p,q)$  e  $(p',q')$  é  $2\theta = 2\sqrt{m/M}$
- +0,4 pontos por notar que precisamos de uma rotação de  $\pi/2$  graus para inverter o momento de  $M$
- +0,1 pontos pela expressão correta de  $N$
- Note que tem múltiplos outros métodos de obter esse resultado, incluindo tomar um limite contínuo das colisões por exemplo. Qualquer método que obtenha  $N$  corretamente também ganha pontos integrais.

**Parte B: Caso ultra-relativístico**

No regime *ultra-relativístico*, as partículas se movem com momentos muito maiores que seus respectivos momentos de repouso, isto é,  $p \gg m \cdot c$ . Nessa situação, a energia total de cada partícula é dominada pela contribuição cinética, com o espaço de fases assumindo uma geometria característica desse limite extremo.

Na parte **B**, considere o limite onde o momento inicial  $p_0$  da massa  $M$  satisfaz:

$$p_0 \gg M \cdot c, \quad p_0 \gg m \cdot c, \quad p_0 \gg \frac{M^2}{m} \cdot c, \quad M \gg m \quad (9)$$

**B1.** Esboce o espaço de fase  $(p,q)$  do sistema nesse limite ultra-relativístico. 1,5pt  
Qual é o formato da figura encontrada?

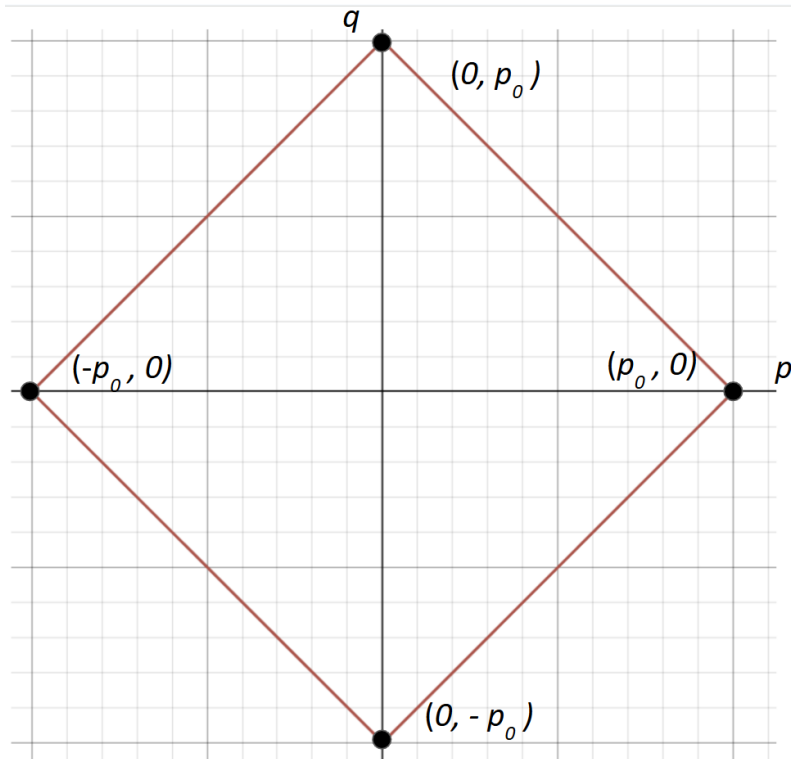
**B2.** Neste limite, quantas colisões entre  $M, m$  são necessárias até  $M$  mudar de direção? 1,5pt

**Gabarito:**

**B1)**

No limite ultra-relativístico, a equação de conservação de energia se torna:

$$E \approx p_0 c \approx |p|c + |q|c \quad (10)$$



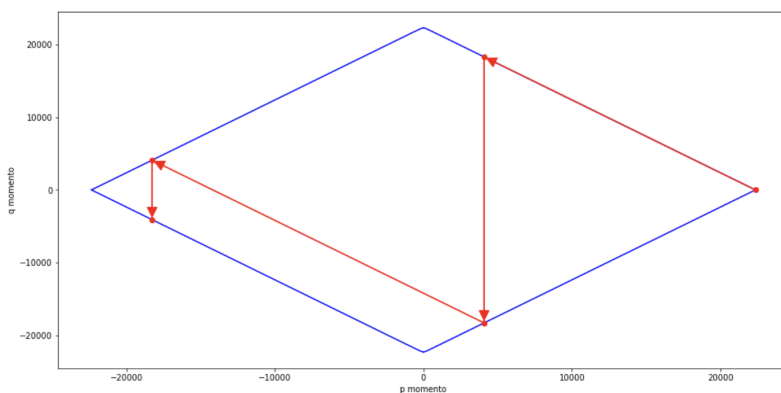
Que define efetivamente um losango no espaço  $p,q$ .

**Marking Scheme:**

- +1,0 pontos por notar que no limite ultra-relativístico temos  $E = (|p| + |q|)c$ .
- +0,4 pontos pelo esboço do losango
- +0,1 pontos por indicar que os limites do gráfico são  $(\pm p_0, 0)$  e  $(0, \pm p_0)$

**B2)**

Como o espaço de fases começa em  $(p_0, 0)$ , por conservação de momento graficamente, a evolução é tem que ser da seguinte forma:



No grafico acima note  $M = 100$ ,  $m = 1$ ,  $v_0 = 0.99999c$ .

Logo temos aproximadamente apenas 2 colisões nesse limite. A primeira retira a maioria do momento de  $M$ , e a segunda inverte o movimento.

Alternativamente, analiticamente, temos as seguintes equações:

$$E_{tot} = \sqrt{p_0^2 + M^2} + m = E_0 + m = \sqrt{p^2 + M^2} + \sqrt{q^2 + m^2} \quad (11)$$

e

$$p_0 = p + q \Rightarrow q = p_0 - p \quad (12)$$

Incluindo isso na primeira equação temos que (usando  $c = 1$  por simplicidade)

$$E_0 + m = \sqrt{p^2 + M^2} + \sqrt{(p_0 - q)^2 + m^2} \Rightarrow (E_0 + m - \sqrt{p^2 + M^2})^2 = (p_0 - p)^2 + m^2 \quad (13)$$

$$(E_0 + m)^2 - 2(E_0 + m)\sqrt{p^2 + M^2} + p^2 + M^2 = p_0^2 - 2p_0p + p^2 + m^2 \quad (14)$$

$$(E_0 + m)^2 - 2(E_0 + m)\sqrt{p^2 + M^2} + M^2 = p_0^2 - 2p_0p + m^2 \quad (15)$$

$$2(E_0 + m)\sqrt{p^2 + M^2} = (E_0 + m)^2 + M^2 - p_0^2 + 2p_0p - m^2 = E_0^2 + 2E_0m + M^2 - p_0^2 + 2p_0p \quad (16)$$

$$(E_0 + m)\sqrt{p^2 + M^2} = E_0m + M^2 + p_0p \quad (17)$$

Usando a definição de  $E_0$ . Assim:

$$\sqrt{p^2 + M^2} = \frac{E_0m + M^2 + p_0p}{E_0 + m} \quad (18)$$

$$(p^2 + M^2)(E_0 + m)^2 = (E_0m + M^2 + p_0p)^2 \quad (19)$$

$$\begin{aligned} p^2E_0^2 + 2p^2E_0m + p^2m^2 + M^2E_0^2 + 2M^2E_0m + M^2m^2 &= E_0^2m^2 + 2E_0mM^2 \\ &+ 2E_0mp_0p + M^4 + 2M^2p_0p + p_0^2p^2 \end{aligned} \quad (20)$$

Que usando novamente a definição de  $E_0$  simplifica em:

$$(p - p_0) \left( p(M^2 + m^2 + 2E_0m) - p_0(M^2 - m^2) \right) = 0 \quad (21)$$

E assim,  $p = p_0$  (o estado inicial), ou:

$$p = p_0 \frac{M^2 - m^2}{M^2 + m^2 + 2E_0m} = p_0 \frac{M^2 - m^2}{M^2 + m^2 + 2m\sqrt{p_0^2 + M^2}} \quad (22)$$

Finalmente, usando que  $p_0 \gg M$  e tambem que  $p_0 \gg \sqrt{Mm}$ ,  $M \gg m$ , temos que:

$$p = p_0 \frac{M^2}{2p_0m} = \frac{M^2}{2m} \ll p_0, q = p_0 - \frac{M^2}{2m} \approx p_0 \quad (23)$$

Logo, a maioria do momento é transferido para  $m$ . Assim, depois da proxima colisão  $M$  ira se inverter.

**Marking Scheme:**

- +1,0 pontos por notar que graficamente ou analiticamente que após a primeira colisão a maioria do momento de  $M$  é perdida nesse limite
- +0,5 pontos por argumentar que após a segunda colisão  $M$  muda de direção
- Note que tem múltiplos métodos de resolver este problema. Qualquer argumento que no limite ultrarelativístico temos um número **constante** de colisões ganha pontos integrais.

### Parte C: Limite semi-relativístico

A suposição que  $m \ll M$  abre as portas para um terceiro caso muito curioso, onde uma das partículas (a massona) é clássica, enquanto a outra (a massinha) é ultra-relativística. Nesta parte **C**, estudaremos este limite *semi-relativístico*, onde o momento inicial  $p_0$  da massa  $M$  satisfaz:

$$M \cdot c^2 \gg \frac{p_0^2}{2M} \gg m \cdot c^2 \quad (24)$$

O que faz esse limite tão curioso, é que o sistema passa por três estágios diferentes, onde

1. primeiramente,  $m$  começa em repouso, e inicialmente se comporta classicamente, porque  $q \ll m \cdot c$ .
2. Eventualmente, após várias colisões,  $q \sim m \cdot c$ , e ela começa a se comportar de modo relativístico.
3. Finalmente,  $q \gg m \cdot c$ , e a massinha vira ultra-relativística.

Hoje, desprezaremos os primeiros dois estágios, e estudaremos apenas o terceiro para estimar o número de colisões até  $M$  mudar de direção.

- C1.** Usando a equação de conservação de energia neste limite semi-relativístico, já no terceiro estágio (onde  $q \gg m \cdot c$ ), mostre que o momento  $q$  da massinha satisfaz: 1,0pt

$$q \approx m \cdot c + f(M, p, p_0, c) \quad (25)$$

e encontre a função  $f(M, p, p_0, c)$ .

- C2.** No contexto da fig. 6, obtenha uma expressão aproximada para  $\Delta p = p' - p$ . Nova- mente, considere o limite semi-relativístico. Dê sua resposta em função apenas de  $q$ . 2,0pt

**Dica:** Pode ser útil a seguinte aproximação para  $|nx| \ll 1$ :

$$(1 + x)^n \approx 1 + nx \quad (26)$$

O caso semi-relativístico é bem mais complexo que os anteriores, logo consideraremos um método diferente para contar as colisões. Considere um limite contínuo das colisões, onde o momento  $p(n)$  da massa  $M$  após a  $n$ -ésima colisão (aproximadamente) satisfaz a seguinte equação diferencial:

$$\frac{d}{dn} p(n) \approx \Delta p(n) \quad (\text{calculado no item acima}) \quad (27)$$

Por simplicidade, assuma que seu resultado na parte **C.1** é válida sempre na região de momento da massa  $M$  p de  $p_0$  até 0. Dado isso, usando a sua resposta dos dois itens acima, resolva:

- C3.** Estime o número de colisões  $N$  até  $M$  mudar de direção, neste limite semi-relativístico, usando apenas a dinâmica do terceiro estágio. Dê sua resposta em função de  $M, m, c$  e  $p_0$ . 1,0pt

**Dica:** Utilize a seguinte integral

$$\int_0^a \frac{dx}{b^2 - x^2} = \frac{1}{2b} \ln \left( \frac{b+a}{b-a} \right), \quad \text{onde } b > a > 0. \quad (28)$$

### Gabarito:

#### C1)

No regime com  $q \gg m \cdot c$ , temos por conservação de energia:

$$mc^2 + Mc^2 + \frac{p_0^2}{2M} \approx q \cdot c + \frac{m^2 c^3}{2q} + Mc^2 + \frac{p_0^2}{2M} \quad (29)$$

Desprezando o ultimo termo de  $\frac{m^2 c^3}{2q}$ , temos:

$$q \approx mc + \frac{1}{2Mc} (p_0^2 - p^2) \quad (30)$$

Logo,  $f(M, p_0, p, c) = \frac{1}{2Mc} (p_0^2 - p^2)$ .

### Marking Scheme:

- +0,5 pontos por aplicar conservação de energia e obter uma equação para obter  $q$
- +0,5 pontos por desprezar fatores quadráticos em  $m$ , e obter  $f(M, p_0, p, c)$  corretamente

#### C2)

Tendo  $m$  como ultra-relativístico, temos as equações (usando  $c = 1$  por simplicidade):

$$\frac{p^2}{2M} + q = \frac{p'^2}{2M} + q' \quad (31)$$

$$p - q = p' + q' \Rightarrow q' = p - q - p' \quad (32)$$

Assim:

$$\frac{p^2}{2M} + q = \frac{p'^2}{2M} + p - q - p' \quad (33)$$

$$\frac{p'^2}{2M} - p' + (p - 2q - \frac{p^2}{2M}) = 0 \Rightarrow p'^2 - 2Mp' + (2Mp - 4Mq - p^2) = 0 \quad (34)$$

$$p' = \frac{1}{2} \left( 2M \pm \sqrt{4M^2 - 4(2Mp - 4Mq - p^2)} \right) = M \pm \sqrt{M^2 - 2Mp + p^2 + 4Mq} \quad (35)$$

$$p' = M \pm \sqrt{(M-p)^2 + 4Mq}$$

Apenas a raiz negativa diminui o momento de  $M$ , logo  $p' = M - \sqrt{(M-p)^2 + 4Mq}$ .

Agora, como  $p \ll M, q \ll M$ , temos que:

$$p' = M - \sqrt{(M-p)^2 + Mq} \approx M - (M-p) \left( 1 + \frac{2Mq}{(M-p)^2} \right) \quad (36)$$

Onde usamos a aproximação para  $(1+x)^n$  na ultima etapa acima. Assim,  $\Delta p = p' - p$  é

$$\Delta p = p' - p = M - p - (M-p) \left( 1 + \frac{2Mq}{(M-p)^2} \right) = -\frac{2Mq}{M-p} \approx -2q \quad (37)$$

Alternativamente, outro modo de solução consideravelmente mais simples, é notar que no limite  $M \gg m$ , a massa  $M$  efetivamente age como um espelho, e a massa  $m$  efetivamente reflete em torno de  $M$ . Dessa forma, pode se afirmar que a variação de momento da massa  $m$  é  $2q$ , e assim da massa  $M$  é também  $-2q$ .

**Marking Scheme:**

- +0,5 pontos por conservação de energia no limite  $m$  ultrarelativístico
- +0,5 pontos por obter uma equação quadrática correta para  $p'$
- +0,5 pontos por escolher a solução correta para  $p'$  da quadrática
- +0,5 pontos pela expressão correta para  $\Delta p$ .
- Note: como tem varios métodos de resolver este problema, qualquer método que argumenta corretamente que  $\Delta p = -2q$  ganha pontos integrais.

**C3)**

Dada a equação diferencial:

$$\frac{dp}{dn} = -2(m + \frac{1}{2M}(p_0^2 - p^2)) = -\frac{1}{M} \left( 2mM + p_0^2 - p^2 \right) = \quad (38)$$

E assim, temos que o número de colisões para o momento  $p$  ir de  $p_0$  ate 0 é dado por:

$$N = M \int_0^{p_0} \frac{dp}{2mM + p_0^2 - p^2} \quad (39)$$

Que é a integral dada caso percebemos:

$$b = \sqrt{p_0^2 + 2mM} = p_0 \sqrt{1 + \frac{2mM}{p_0^2}} \approx p_0 + \frac{mM}{p_0}, \text{ e } a = p_0 \quad (40)$$

Note que  $mM/p_0 \ll 1$ , ja que  $p_0^2 \gg mM$ , assim:

$$N = \frac{M}{2b} \ln \frac{b+a}{b-a} \approx \frac{M}{2p_0} \ln \frac{2p_0}{mM/p_0} = \frac{M}{2p_0} \ln \frac{2p_0^2}{mM} \quad (41)$$

Assim, ignorando fatores additivos e multiplicativos de segunda ordem/proporcionalidade, obtemos:

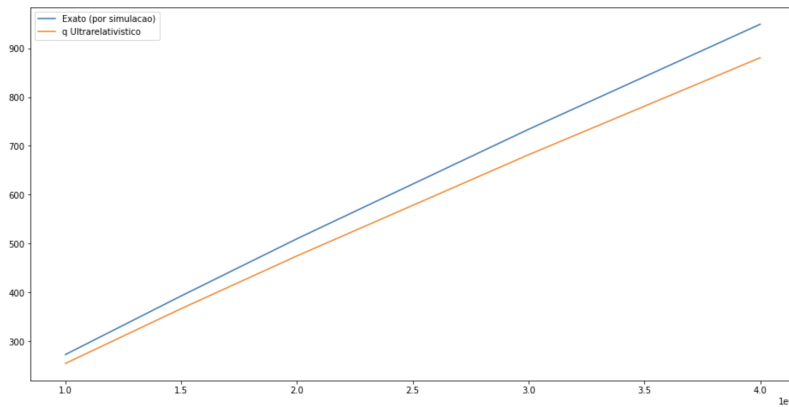
$$N \sim \frac{M}{p_0} \ln \frac{p_0^2}{mM} \quad (42)$$

Notavelmente, esse resultado agora depende do momento de uma forma bem interessante!

**Marking Scheme:**

- Dado que esse item pede estimativas para  $N$ , seja bem liberal na correção e na precisão em fatores de  $M, m$  e  $p_0$ .
- +0,4 pontos pela integral de  $N$  em função de uma integral combinando os ultimos dois resultados da parte **C**.
- +0,6 pontos pela expressão final de  $N$  a par de constantes multiplicativas/aditivas

Para os interessados, empiricamente o resultado acima é razoavelmente preciso. Abaixo esta um grafico para  $p_0 = 20000, m = 0.03$  e variando  $M$  entre  $10^6$  e  $4 \cdot 10^6$  (em unidades normalizadas com  $c = 1$ ), com eixo  $x$  sendo  $M$  e  $y$  sendo o número de colisões.



O erro relativo é  $\leq 7.5\%$ , então a expansão e metodo em geral é razoavelmente decente.

### **Q5 - Partícula confinada em um poço com barreiras finas (10 pontos)**

Considere uma partícula quântica de massa  $m$ , em uma região unidimensional. A partícula está inicialmente confinada na região central  $-\frac{a}{2} < x < \frac{a}{2}$ , que chamaremos de “poço”. Nas bordas do poço existem duas barreiras de potencial idênticas, cada uma de espessura  $\varepsilon \ll a$  e altura  $V_0$ , centradas nas posições  $x = -\frac{a}{2}$  e  $x = +\frac{a}{2}$ . Fora dessas duas barreiras, o potencial é praticamente nulo e a partícula, se escapar, pode se mover livremente. Um diagrama simplificado do potencial efetivo é mostrado abaixo.

$$V(x) \approx \begin{cases} 0, & -\frac{a}{2} < x < \frac{a}{2} \quad (\text{interior do poço}) \\ V_0, & \text{regiões finas de largura } \varepsilon \text{ em } x = \pm \frac{a}{2} \\ 0, & \text{fora das barreiras} \end{cases}$$

Assuma que sabemos que existe inicialmente uma partícula dentro do poço.

- A.** Usando o princípio da incerteza de Heisenberg, estime a altura mínima da barreira 4,0pt  
de potencial  $V_0$  necessária para confinar a partícula dentro da região  $-\frac{a}{2} < x < \frac{a}{2}$ .  
Discuta como essa estimativa depende dos parâmetros  $a$ ,  $m$  e  $\hbar$ .

#### **Gabarito:**

##### **A**

A ideia física é a seguinte: se a partícula está localizada dentro do poço, com extensão típica de ordem  $a$ , então sua incerteza de posição  $\Delta x$  é da ordem de

$$\Delta x \sim a.$$

Pelo princípio da incerteza de Heisenberg,

$$\Delta x \Delta p \gtrsim \frac{\hbar}{2} \implies \Delta p \sim \frac{\hbar}{2a}.$$

Isso sugere que a partícula, por estar espacialmente confinada, terá tipicamente um momento da ordem de  $\Delta p$ , e portanto uma energia cinética típica da ordem de

$$E_{\text{cin}} \sim \frac{(\Delta p)^2}{2m} = \frac{1}{2m} \left( \frac{\hbar}{2a} \right)^2 = \frac{\hbar^2}{8ma^2}.$$

Para que a partícula permaneça confinada, é necessário que essa energia típica seja menor do que a altura da barreira  $V_0$ . Caso contrário, a barreira não seria capaz de “segurar” a partícula: o estado quântico teria energia grande o suficiente para que a partícula escapasse sem precisar tunelar.

Portanto, exigimos

$$V_0 \gtrsim E_{\text{cin}} \sim \frac{\hbar^2}{8ma^2}.$$

Uma estimativa mínima razoável para a altura da barreira é então

$$V_0^{(\text{mín})} \sim \frac{\hbar^2}{8ma^2}.$$

#### **Critério de correção (4,0 pt).**

- 2,0 pt: uso explícito de Heisenberg  $\Delta x \Delta p \sim \hbar/2$  para obter  $\Delta p \sim \hbar/(2a)$ .
- 1,0 pt: estimativa da energia cinética típica  $\hbar^2/(8ma^2)$ .
- 1,0 pt: argumento de que  $V_0$  deve ser maior que essa energia para garantir confinamento.

Assuma agora que a energia média da partícula é  $E$ , com  $E \ll V_0$ , tal que a probabilidade  $T$  seja pequena. A partícula está inicialmente confinada no poço, mas, por efeito de tunelamento quântico, existe uma pequena probabilidade da partícula atravessar uma das barreiras finas e escapar para fora. Admita que, ao incidir uma única vez sobre uma parede, essa pequena probabilidade pode ser aproximada por

$$T \sim \exp\left[-\alpha\sqrt{V_0}\varepsilon\right],$$

em que  $\alpha$  é uma constante física de dimensões adequadas.

- |           |   |       |
|-----------|---|-------|
| <b>B.</b> | Utilize argumentos físicos para estimar como $\alpha$ deve depender das constantes do problema. | 2,0pt |
|-----------|---|-------|

**Gabarito:**

(B)

Queremos estimar como deve ser a constante  $\alpha$  na expressão

$$T \sim \exp\left[-\alpha\sqrt{V_0}\varepsilon\right],$$

onde  $T$  é a probabilidade de transmissão através de uma única barreira de potencial de altura  $V_0$  e espessura  $\varepsilon$ , assumindo  $E \ll V_0$ .

A exigência física é que o expoente seja adimensional.

Logo, o produto  $\alpha\sqrt{V_0}\varepsilon$  deve ser adimensional.

Vamos analisar cada pedaço:

- $\varepsilon$  tem dimensão de comprimento  $[L]$ .
- $V_0$  é energia, então  $\sqrt{V_0}$  tem dimensão  $\sqrt{[E]}$ .
- Precisamos então que  $\alpha\sqrt{V_0}\varepsilon$  não tenha dimensão alguma.

Sabemos que, em Mecânica Quântica, a constante de Planck reduzida  $\hbar$  relaciona momento e comprimento via  $p \sim \hbar/L$ , e que a combinação  $\sqrt{2mV_0}$  tem dimensão de momento. Mais precisamente,

$$\sqrt{2mV_0} \text{ tem dimensão de quantidade de movimento (momento).}$$

Observe que

$$\frac{\sqrt{2mV_0}}{\hbar}$$

tem dimensão de inverso de comprimento  $[L]^{-1}$ , pois  $\hbar$  tem dimensão de momento  $\times$  comprimento.

Assim,

$$\frac{\sqrt{2mV_0}}{\hbar}\varepsilon$$

é adimensional.

Portanto, para que o fator no expoente tenha dimensão correta,  $\alpha\sqrt{V_0}$  deve ser equivalente (a menos de fator numérico) a  $\sqrt{mV_0}/\hbar$ . Em outras palavras, a constante  $\alpha$  deve ter a forma

$$\alpha \sim \frac{\sqrt{m}}{\hbar}.$$

**Critério de correção (2,0 pt).**

- 1,0 pt: argumento dimensional mostrando que o expoente deve ser adimensional e levando à combinação  $\sqrt{2mV_0}\varepsilon/\hbar$ .
- 1,0 pt: conclusão de que  $\alpha \sim \sqrt{m}/\hbar$ , ou forma equivalente que exponha as dependências em  $m$  e  $\hbar$ .

Eventuais fatores numéricos no parâmetro  $\alpha$  podem ser desconsiderados para os objetivos de estimativa dessa questão. A partícula se move aproximadamente livre dentro do poço, batendo sucessivamente contra as barreiras e tentando escapar a cada colisão com probabilidade  $T$  muito pequena em cada colisão.

- C.** Estime o tempo de meia-vida de confinamento da partícula dentro do poço, isto é, o tempo necessário para que a probabilidade de ainda encontrá-la no interior do poço caia para metade do valor inicial. Sua resposta deve ser dada em termos de  $a$ ,  $\varepsilon$ ,  $m$ ,  $\hbar$ ,  $E$  e  $V_0$ . 4,0pt

**Gabarito:**

**(C)**

A partícula oscila para a esquerda e para a direita dentro do poço quase como uma partícula livre. Cada vez que ela chega perto de uma barreira, há uma chance pequena de tunelar e escapar.

**i) Estimar a velocidade típica dentro do poço.**

Se a energia média é  $E$  (puramente cinética, já que dentro do poço o potencial é aproximadamente zero), então

$$E \sim \frac{p^2}{2m} \implies p \sim \sqrt{2mE}.$$

Logo, a velocidade típica é

$$v \sim \frac{p}{m} = \sqrt{\frac{2E}{m}}.$$

**ii) Estimar a frequência de colisões com uma barreira.**

A partícula percorre uma distância da ordem de  $a$  para ir de uma barreira até a outra. Assim, o tempo típico entre colisões com a mesma barreira é da ordem de

$$\tau_{\text{viagem}} \sim \frac{a}{v} = \frac{a}{\sqrt{2E/m}} = a \sqrt{\frac{m}{2E}}.$$

Portanto, a taxa com que a partícula "bate" em uma dada barreira é da ordem de

$$f_{\text{col}} \sim \frac{1}{\tau_{\text{viagem}}} = \frac{1}{a} \sqrt{\frac{2E}{m}}.$$

Como existem duas barreiras (em  $x = -a/2$  e  $x = +a/2$ ), a taxa total de tentativas de fuga é aproximadamente o dobro:

$$f_{\text{tent}} \sim \frac{2}{a} \sqrt{\frac{2E}{m}}.$$

**iii) Estimar a probabilidade de transmissão por tunelamento em uma barreira.**

Para uma barreira de altura  $V_0$  e largura  $\varepsilon$ , com  $E \ll V_0$ , a probabilidade de tunelamento (transmissão) é exponencialmente suprimida. Uma estimativa padrão, sem resolver a equação de Schrödinger em detalhe, é escrever a atenuação como

$$T \sim \exp[-2\kappa\varepsilon], \quad \text{com} \quad \kappa \sim \frac{\sqrt{2m(V_0 - E)}}{\hbar} \approx \frac{\sqrt{2mV_0}}{\hbar} \quad (E \ll V_0).$$

Ou seja,

$$T \sim \exp\left[-2\varepsilon \frac{\sqrt{2mV_0}}{\hbar}\right].$$

Isso significa: a cada colisão com a barreira, a probabilidade de escapar é aproximadamente  $T$ .

**iv) Estimar a taxa de escape.**

A taxa de escape  $\Gamma$  (probabilidade por unidade de tempo de escapar) é, aproximadamente,

$$\Gamma \sim f_{\text{tent}} \times T \sim \left( \frac{2}{a} \sqrt{\frac{2E}{m}} \right) \exp \left[ -2\varepsilon \frac{\sqrt{2mV_0}}{\hbar} \right].$$

**v) Relacionar a taxa de escape ao tempo de meia-vida.**

Se a probabilidade  $P(t)$  de a partícula ainda estar no poço decai aproximadamente de forma exponencial,

$$P(t) \sim e^{-\Gamma t},$$

então o tempo de meia-vida  $\tau_{1/2}$  é definido por  $P(\tau_{1/2}) = 1/2$ , isto é,

$$\frac{1}{2} = e^{-\Gamma \tau_{1/2}} \implies \tau_{1/2} = \frac{\ln 2}{\Gamma}.$$

Substituindo  $\Gamma$ :

$$\tau_{1/2} \sim \frac{\ln 2}{\left( \frac{2}{a} \sqrt{\frac{2E}{m}} \right) \exp \left[ -2\varepsilon \frac{\sqrt{2mV_0}}{\hbar} \right]} = \frac{\ln 2}{2} a \sqrt{\frac{m}{2E}} \exp \left[ 2\varepsilon \frac{\sqrt{2mV_0}}{\hbar} \right].$$

Portanto, uma estimativa para o tempo de meia-vida de confinamento é

$$\boxed{\tau_{1/2} \sim \frac{\ln 2}{2} a \sqrt{\frac{m}{2E}} \exp \left[ 2\varepsilon \frac{\sqrt{2mV_0}}{\hbar} \right].}$$

**Critério de correção (4,0 pt).**

- 1,0 pt: estimar velocidade típica  $v \sim \sqrt{2E/m}$  e taxa de colisão  $\sim v/a$ .
- 1,0 pt: estimar a frequência de choques.
- 1,0 pt: combinar a taxa de choques com a probabilidade individual de tunelamento para obter  $\Gamma$ .
- 1,0 pt: combinar os resultados para obter  $\Gamma$  e  $\tau_{1/2} = (\ln 2)/\Gamma$ .

**Observação:** Podem haver outros caminhos ligeiramente diferentes de estimativa possíveis. De maneira geral, diferenças de fatores numéricos podem ser toleradas desde que argumentos equivalentes à solução oficial sejam apresentados.